




## Evaluation of Integrated Solar Geothermal Energy System for Providing Power, Heat and Cold

Research Article

Amin Kardgar<sup>1</sup> 

DOI: [10.22067/jacsm.2022.76152.1108](https://doi.org/10.22067/jacsm.2022.76152.1108)

### 1. Introduction

According to reports, about 19.3% of the world's energy is provided by renewable energies. A large share of renewable energy comes from wind, solar and geothermal energy. Solar energy is a very clean energy that is used to generate power without causing pollution. According to studies conducted in recent decades, the cost of solar energy is competitive with other energy sources. Geothermal energy is also one of the clean sources of energy supply that have received attention in recent decades. Geothermal energy in countries such as the Philippines and Iceland supplies about 30% of their electrical energy needs. In Iran, there are various sources of geothermal energy in Azarbaijan, Ardabil, Isfahan, and Mazandaran provinces. A way to increase the efficiency of geothermal systems is combining it with solar energy and cogeneration.

Stability is among the challenges of using solar energy. Moreover, the low efficiency of geothermal energy is one of its disadvantages. One of the best solutions to solve these challenges is the simultaneous use of solar and geothermal energy. The purpose of this research is to present a geothermal and solar energy system for the simultaneous production of power, heat, cold and its analysis based on the first and second laws of thermodynamics. For this purpose, the amount of exergy loss and the efficiency of different components of the system were investigated by changing the effective parameters.

### 2. Results

Figure 1 depicts the production system for the simultaneous production of power, heat and cold. Geothermal energy acts as the main source and solar energy as an auxiliary source in this system. To ensure the continuous operation of the system, an energy storage device has been used, one side of which is connected to the sun and the other side to the input flow of turbine 2. The purpose of the proposed system is to produce power and

heat for industrial use and cooling for residential places, as well as a heat pump for drying products.

This system is composed of 5 circuits, which include the water flow circuit from the geothermal well for power generation, the absorption refrigeration cycle with lithium bromide and water for cooling the residential space, the compression refrigeration cycle with isobutane fluid, the dryer system, and the solar absorber system with molten sodium.

For the thermodynamic analysis of subsystems in the whole system, the first and second laws were used. The first law of thermodynamics or the law of conservation of energy with the assumed assumptions is as follows for all components.

$$\dot{Q} + \sum \dot{m}_i h_i = \dot{W} + \sum \dot{m}_e h_e \quad (1)$$

By applying the second law of thermodynamics to all system components, the amount of irreversibility can be analyzed. The amount of exergy at any point is obtained using Equation 2.

$$ex_i = h_i - h_e - T_0(s_i - s_0) \quad (2)$$

The efficiency value of the first and second laws of this system is  $\eta_0 = 92\%$  and  $\psi_0 = 57\%$  respectively, which is more than many power generation systems. Based on the values of thermodynamic properties, the efficiency of the law of energy and exergy in Figure 2 is calculated based on the changes in the quality of the fluid exiting the geothermal well. The quality of steam in a geothermal well depends on the type of well and its amount can vary. With the increase of steam quality from 0.3 to 0.8, the energy efficiency does not change much, but the exergy efficiency increases from 52% to 60%, which is due to the reduction of exergy loss in different parts of the system. In fact, with the increase in steam quality, its exergy value increases and this improves the exergy efficiency by 8%. Figure 3 shows the changes in energy efficiency and exergy versus fluid flow rate from the geothermal well. With the increase

\*Manuscript received: April 10, 2022, Revised, August 13, 2022, Accepted, December 15, 2022.

<sup>1</sup>. Corresponding author. Assistant Professor, Department of Mechanical Engineering, University of Mazandaran, Babolsar, Iran.

Email: [a.kardgar@umz.ac.ir](mailto:a.kardgar@umz.ac.ir)

of the mass flow rate from 20 kg/s to 80 kg/s, the changes in the efficiency of the first and second laws are almost negligible. With the increase in the flow rate of the fluid coming out of the well, the amount of energy produced increases, but the efficiency of the first and second laws does not change significantly due to the lack of change in the quality of energy.

### 3. Conclusion

A cogeneration system based on geothermal and solar energy was developed. Using the first and second laws of

thermodynamics, the whole system was analyzed. The amount of work, cold and heat produced as well as exergy loss were calculated. Using thermodynamic relationships, the effect of effective parameters such as the mass flow rate of the geothermal reservoir, steam quality, ambient temperature, temperature of the air entering the heat pump and the temperature of the generator output fluid on the efficiency of the first law, second law and exergy loss were investigated.

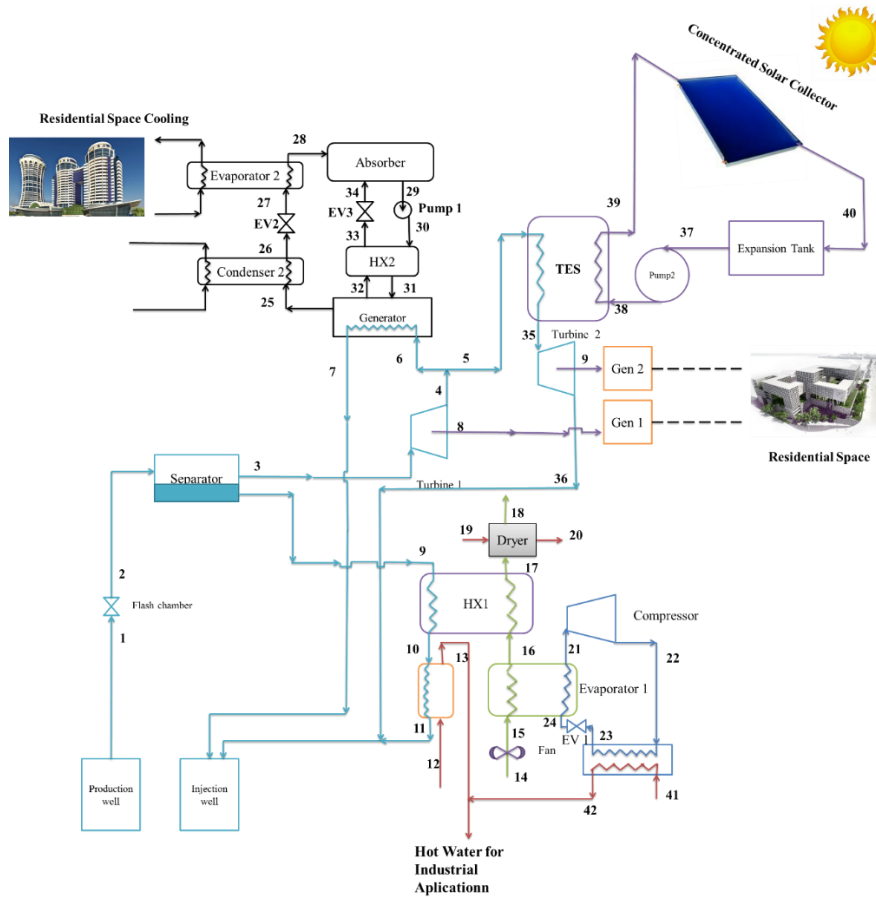


Figure 1. The flow diagram of the simultaneous production of power, heat and cooling with the simultaneous use of solar energy and geothermal energy

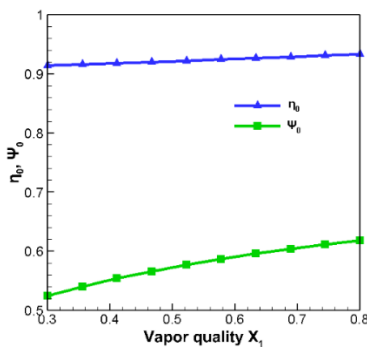


Figure 2. Energy and exergy efficiency of the whole system according to the quality of steam exiting geothermal wells

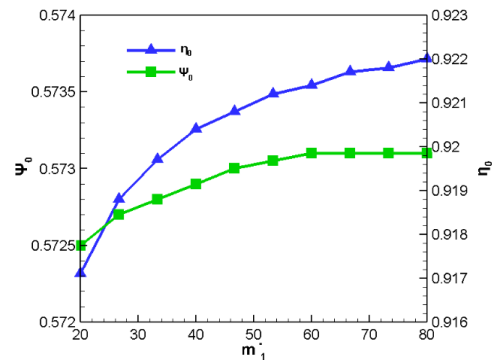


Figure 3. Energy efficiency and exergy of the whole system in terms of flow rate of hot water from the geothermal tank



## ارزیابی سامانه یکپارچه انرژی خورشیدی و زمین گرمایی برای تولید همزمان توان، گرما و سرمایش\*

مقاله پژوهشی

امین کاردگر<sup>(۱)</sup>

DOI: 10.22067/jacsm.2022.76152.1108

**چکیده** در پژوهش حاضر، یک سامانه انرژی یکپارچه خورشیدی-زمین گرمایی ارائه شده است. این سامانه انرژی از یک محفظه تبخیر یک مرحله‌ای زمین گرمایی، سیکل تبرید جذبی تک اثره، سیکل پمپ حرارتی برای عملیات خشک کردن، سامانه ذخیره‌ساز انرژی خورشیدی، دو توربین بخار برای تولید توان، تولید سرمایش برای مصارف خانگی و سامانه گرمایشی برای مصارف صنعتی تشکیل شده است. هدف از این سامانه تولید توان، سرمایش و گرمایش برای مصارف خانگی و صنعتی و خشک کردن محصولات غذایی است. راندمان انرژی و انرژی کل این سامانه به ترتیب ۹۲٪ و ۵۷٪ است. اثرات عوامل مؤثر مانند دمای محیط، دبی و دمای آب مخزن زمین گرمایی و دمای آب خروجی از ژنراتور سیکل تبرید جذبی بر راندمان انرژی و انرژی کل سامانه بررسی شده است. با افزایش دمای محیط از ۲۷۰ K تا ۳۲۰ K مقدار راندمان انرژی کل تغییری نمی‌کند اما راندمان انرژی کل، توربین شماره ۱ و توربین شماره ۲ به ترتیب حدود ۷٪، ۳٪ و ۴٪ کاهش می‌یابد.

واژه‌های کلیدی: انرژی خورشیدی، تبرید جذبی، تولید توان.

## Evaluation of an Integrated Solar Geothermal Energy System to Provide Power, Heat and Cooling

Amin Kardgar

### Abstract

In the present research, an integrated solar-geothermal energy system is proposed. This energy system consists of a single flash geothermal cycle, single effect absorption refrigeration cycle, heat pump cycle for drying process, solar energy saving compartment, two steam turbines for power production, cooling system for domestic usage and heating for industrial application. The aim of this system is providing cooling and heating for domestic and industrial appliances and drying food products. The energy and exergy efficiency of the system were 92% and 57%, respectively. The effect of parameters such as surrounding temperature, the temperature and the mass flow rate of geothermal tank, and the outlet water temperature of the generator of absorption cooling system on energy and exergy efficiency of the system were investigated. The overall energy efficiency does not change by increasing surrounding temperature from 270 K to 320 K, but overall exergy efficiency, turbine 1, and turbine 2 decrease almost 7%, 3% and 4%, respectively.

**Key Words** Exergy; Geothermal; Solar energy; Absorption refrigeration; Power production.

\* تاریخ دریافت مقاله ۱۴۰۱/۱/۲۱ و تاریخ پذیرش آن ۱۴۰۱/۹/۹ می‌باشد.

Email: a.kardgar@umz.ac.ir

(۱) نویسنده مسئول: استادیار مهندسی مکانیک، گروه مهندسی مکانیک، دانشگاه مازندران، بابلسر، ایران

## مقدمه

روند کنونی افزایش مصرف انرژی در جهان، بشر را با دو بحران بزرگ روبرو کرده است؛ نخست آلودگی محیط زیست در اثر سوزاندن سوخت‌های فسیلی و دیگری شتاب فزاینده در جهت به پایان بردن این منابع. تأمین انرژی یکی از اساسی‌ترین پیش‌نیازهای توسعه اقتصادی و بهبود کیفی زندگی بشر است. روند صعودی مصرف انرژی در جهان، که با وقوع انقلاب صنعتی در اواسط قرن هجدهم میلادی آغاز شد، همچنان ادامه دارد. یکی از بهترین راه‌ها برای کاهش آسیب محیط زیست و گازهای گلخانه‌ای، جایگزینی سوخت‌های فسیلی با انرژی‌های تجدیدپذیر مانند انرژی خورشیدی، زمین گرمایی و باد است. بر اساس گزارش‌ها حدود ۱۹/۳٪ از انرژی جهان توسط انرژی‌های تجدیدپذیر تأمین می‌شود. سهم زیادی از انرژی‌های تجدیدپذیر متعلق به انرژی باد، خورشید و زمین گرمایی است. انرژی خورشیدی، انرژی بسیار پاک است که بدون ایجاد آلاینده برای تولید توان به کار می‌رود. با توجه با پژوهش‌های صورت گرفته در دهه‌های اخیر قیمت تمام شده انرژی خورشیدی با دیگر منابع انرژی قابل رقابت است. انرژی زمین گرمایی نیز یکی از منابع پاک تأمین انرژی است که در دهه‌های اخیر مورد توجه قرار گرفته است. انرژی زمین گرمایی در کشورهای مانند فیلیپین و ایسلند حدود ۳۰٪ از انرژی الکتریکی مورد نیازشان را تأمین می‌کند. در ایران نیز منابع متنوعی از انرژی زمین گرمایی در استان‌های آذربایجان، اردبیل، اصفهان، مازندران و... وجود دارد. یکی از راه‌های افزایش راندمان سیستم‌های زمین گرمایی ترکیب آن با انرژی خورشیدی و تولید همزمان است. کارهای مختلفی برای ترکیب انرژی خورشیدی و زمین گرمایی و تولید همزمان صورت گرفته است. از سیستم ترکیبی زمین گرمایی و خورشیدی می‌توان در دودکش خورشیدی برای افزایش توان تولیدی استفاده کرد [1]. چوی و همکارانش مقایسه‌ای بین R22 و R744 به‌عنوان سیال عامل در سیکل پمپ حرارتی سامانه خورشیدی-زمین گرمایی انجام دادند. نتایج آنها نشان‌دهنده راندمان بهتر R744 در مقایسه با R22 به مقدار ۲۸,۸٪ است. همچنین نتایج آنها نشان داد که راندمان کلکتور نیز به اندازه ۴,۱٪ در زمان استفاده از R744 افزایش می‌یابد [2]. قاسمی و همکارانش با استفاده همزمان از انرژی حرارتی زمین گرمایی و خورشیدی،

راندمان قانون دوم سامانه تولید توان را ۳/۴٪ نسبت به استفاده تنهایی از هر کدام از منابع حرارتی افزایش دادند [3]. ایوب و همکارانش با سیستم ترکیبی زمین گرمایی و خورشیدی و بهینه‌سازی سامانه پیشنهادی با تابع هدف هزینه توان تولیدی، توانستند با پیشنهاد یک آرایش جدید مقدار هزینه را تا ۲٪ نسبت به حالت استفاده از این منابع انرژی به‌صورت جداگانه کاهش دهند. آنها همچنین با استفاده از جریان متغیر توانستند مقدار راندمان را ۶,۳٪ نسبت به حالت جریان ثابت در کلکتور خورشیدی افزایش دهند [4]. شوکتی و رنجبر سیکل تولید توان با بهره‌گیری از انرژی زمین گرمایی و استفاده از سیکل کالینا و رانکین و سیال عامل مختلف بررسی کردند. نتایج آنها نشان داد که سیکل کالینا با غلظت آمونیاک ۰/۷٪ کمترین میزان هزینه تولید توان را دارد. سیکل اورگانیک رانکین نیز با سیال عامل R123 دارای بیشترین بازده قانون اول است. فشار بهینه اپراتور سیکل کالینا برای کمینه کردن هزینه تولید توان در ۲۵ بار رخ می‌دهد [5]. هبرلی و همکارانش با افزودن یک سامانه خورشیدی به سیکل اورگانیک رانکین، بازده آن را ۷/۸٪ افزایش دادند [6]. از طرفی می‌توان این سامانه را برای تأمین آب شیرین جوامع کوچک به کار بست [7]. علی‌رحمی و همکارانش با استفاده از ترکیب انرژی زمین گرمایی و انرژی خورشیدی یک سامانه تولید توان و سرمایه‌گذاری پیشنهاد دادند. آنها برای تولید توان از سیکل رانکین و سیکل اورگانیک رانکین بهره بردند [8]. آنها نشان دادند که با ثابت ماندن تعداد پنل‌های خورشیدی، با افزایش دبی جریان ورودی، کار خروجی سیستم کاهش یافته و بار سرمایه‌گذاری افزایش می‌یابد. آنها همچنین نشان دادند که بین ۱۰ مبرد مختلف، مبرد R123 بهترین عملکرد را دارد. مقدار راندمان انرژی در سیستم پیشنهادی آنها در بهترین حالت ۲۹,۹۵٪ بود. القمری و حسن با استفاده از انرژی زمین گرمایی و گرم کردن هوای تازه، بار گرمایی ساختمان را تأمین کردند. آنها همچنین برای تأمین توان الکتریکی ساختمان از انرژی خورشیدی و خورشیدی را در شرایط مختلف دودکش خورشیدی بررسی کردند. آنها نشان دادند که دودکش دمای اتاق را ۶,۴ °C افزایش داده و هوای اتاق را ۴۶ بار در روز تغییر می‌دهد [9]. الحامد و دینسر برای تأمین توان الکتریکی و بار سرمایه‌گذاری یک منطقه مسکونی کوچک یک آرایش با ترکیب

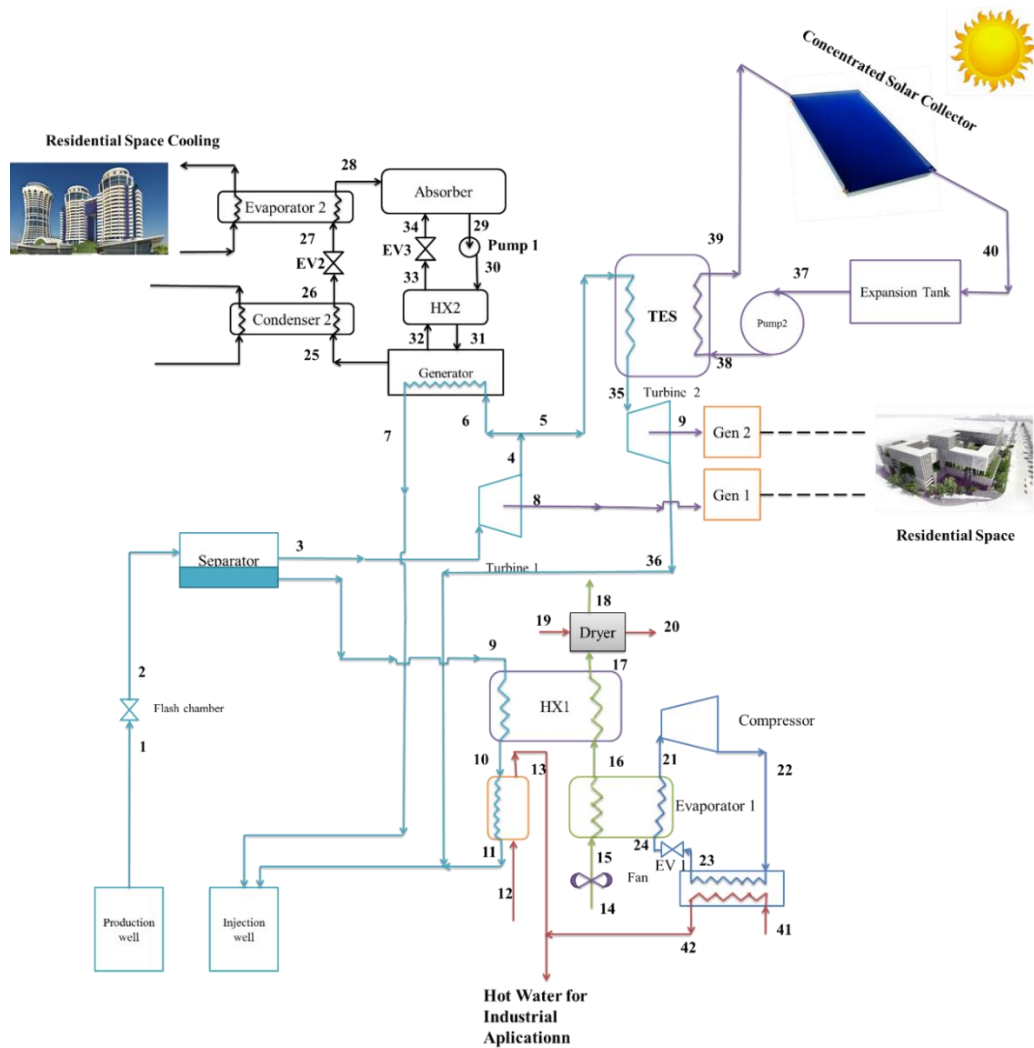
پارامترهای مختلف مانند نوع سیال عامل در سیکل اورگانیک رانکین، دمای محیط و دبی جرمی سیال عامل را بر روی بازده سیستم بررسی نمودند [17]. ساندلی و همکارانش از انرژی زمین گرمایی به عنوان مکمل انرژی خورشیدی در فرایند خشک کردن استفاده کردند. در طرحی که آنها پیشنهاد دادند مقدار دمای هوای خشک‌کن به  $46^{\circ}\text{C}$  تا  $58^{\circ}\text{C}$  می‌رسد [18].

همان طوری که از مطالعات انجام شده می‌توان برداشت نمود، یکی از چالش‌های استفاده از انرژی خورشیدی پایدار آن است. از طرفی پایین بودن راندمان انرژی زمین گرمایی از معایب آن به شمار می‌رود. یکی از بهترین راهکارها برای رفع این چالش‌ها، استفاده همزمان از انرژی خورشیدی و زمین گرمایی است. هدف از پژوهش حاضر ارائه یک سامانه انرژی زمین گرمایی و خورشیدی برای تولید همزمان توان، گرما، سرما و تحلیل آن بر اساس قانون اول و دوم ترمودینامیک است. برای این کار مقدار اتلاف انرژی و راندمان اجزای مختلف سامانه با تغییر مؤلفه‌های مؤثر بررسی شده است.

### توضیح سامانه انرژی

سامانه تولید همزمان توان، حرارت و سرما در شکل (۱) نشان داده شده است. انرژی زمین گرمایی به عنوان منبع اصلی و انرژی خورشیدی به عنوان منبع کمک‌کننده در سیستم عمل می‌کند. برای اطمینان از عملکرد پیوسته سامانه از ذخیره‌ساز انرژی استفاده شده است که یک طرف آن به خورشید و طرف دیگر آن به جریان ورودی توربین ۲ متصل است. هدف از سامانه پیشنهادی تولید توان، گرما برای استفاده صنعتی و سرمایش برای اماکن مسکونی و همچنین پمپ حرارتی برای عملیات خشک کردن محصولات است. این سامانه از پنج مدار تشکیل شده است که شامل مدار جریان آب خروجی از چاه زمین-گرمایی برای تولید توان، چرخه تبرید جذبی با لیتیم بروماید و آب برای سرمایش فضای مسکونی، چرخه تبرید تراکمی با سیال ایزوبوتان، سیستم خشک‌کن و سامانه جاذب خورشیدی با سدیم مذاب است.

انرژی خورشیدی و زمین گرمایی پیشنهاد دادند. آنها برای این کار از توربین‌هایی تقریباً با ظرفیت کل  $1345\text{ kW}$  و یک سامانه تبرید جذبی اژکتوری با ظرفیت  $15\text{ kW}$  استفاده کردند. راندمان قانون اول و دوم این سامانه به ترتیب  $53,33\%$  و  $37,07\%$  بوده است [10]. ذبیح‌الله و همکارانش [11] اثر پارامترهای مختلف مانند دمای آب خروجی از منابع زمین گرمایی، دبی جریان آب و فشار ورودی توربین بخار را در نیروگاه تولید همزمان برق، سرما و گرما بررسی کردند. آنها بیان کردند که با افزایش فشار ورودی توربین مقدار تخریب افزایش می‌یابد. صدیقی و دینسر سامانه‌ای برای تولید توان و آب شیرین با استفاده از انرژی زمین گرمایی و خورشیدی پیشنهاد دادند. آنها با استفاده از قانون اول و دوم ترمودینامیک سامانه را تحلیل نموده و نشان دادند راندمان قانون اول و دوم این سیستم به ترتیب  $42,3\%$  و  $21,3\%$  است [12]. اوکاتی و همکارانش روش نوینی برای بهره‌گیری از انرژی زمین گرمایی و خورشیدی برای شیرین‌سازی آب پیشنهاد دادند. آنها نشان دادند که با کاهش دمای کندانسور در سامانه از  $28^{\circ}\text{C}$  تا  $21^{\circ}\text{C}$ ، مقدار آب شیرین تولیدی  $6,6\%$  افزایش می‌یابد [13]. عبدالعلی‌پور و همکارانش یک آرایش بر مبنای انرژی زمین گرمایی به عنوان منبع گرم و گاز LNG به عنوان منبع سرد با راندمان  $29,16\%$  پیشنهاد دادند. در این سامانه با افزایش فشارهای جداساز اول و دوم مقدار توان تولیدی خالص، بازده حرارتی و انرژی نتایج بهتری را نشان می‌دهد [14]. یکی از چالش‌های استفاده از سامانه ترکیبی زمین گرمایی و خورشیدی عدم وجود همیشگی توان حرارتی خورشید و کاهش راندمان سامانه به این دلیل است. باستی و همکارانش با استفاده از سیستم ذخیره‌ساز انرژی ظرفیت سالانه این سامانه‌ها را  $19\%$  افزایش دادند [15]. مک‌تیگ و همکارانش با استفاده از سامانه حرارتی خورشیدی به عنوان سیکل بالایی و سیکل زمین گرمایی به عنوان سیکل پایینی یک سامانه تولید توان با بازده  $32,9\%$  ارائه دادند. در طرح ارائه شده، برای افزایش بازده و پیوستگی بیشتر سامانه از سیستم ذخیره‌ساز انرژی استفاده شده است [16]. کشاورزپرست و همکارانش برای افزایش بازده یک نیروگاه زمین گرمایی در نوادا آمریکا، سامانه حرارتی خورشید به آن اضافه نمودند. آنها با استفاده از نرم‌افزار تجاری HYSIS کل سامانه را به صورت ترمودینامیکی تحلیل نموده و تأثیر



شکل ۱ نمودار جریان تولید همزمان توان، گرما و سرمایش با استفاده همزمان از انرژی خورشیدی و انرژی زمین‌گرمایی

را تأمین نماید. بخار آب جدا شده از محلول نمک وارد یک کندانسور شده و دمای آن کاهش می‌یابد تا تبدیل به مایع شود و سپس وارد یک شیر انبساط شده تا فشار و دمای آن کاهش یابد و در ادامه وارد اپراتور شده تا سرمای لازم برای امکان مسکونی و تجاری را تأمین نماید. بخار خارج از اپراتور وارد یک جاذب شده تا جذب محلول غلیظ شده و پس از آن وارد یک پمپ شده تا با افزایش فشار وارد ژنراتور شده و این سیکل تکرار شود.

## توربین ۲

بخار خروجی از توربین ۱ وارد ذخیره‌ساز انرژی می‌شود. انرژی ذخیره‌ساز از نور خورشید تأمین می‌شود. انرژی حرارتی خورشید به سدیم مذاب منتقل شده و در نهایت به ذخیره‌ساز منتقل می‌شود.

## توربین ۱

توربین بخار شماره ۱ مستقیم به چاه زمین‌گرمایی متصل است. مخلوط آب گرم و بخار وارد یک محفظه فلش شده تا کیفیت بخار بالاتر رود. سپس مخلوط بخار و آب وارد یک جداساز بخار و مایع شده و بخار وارد توربین می‌شود. مایع از جداساز وارد مبدل حرارتی شده تا دمای هوایی که وارد خشک‌کننده می‌شود را افزایش دهد. در ادامه مایع با افت دما بعد از مبدل حرارتی وارد مبدل حرارتی می‌شود تا آب گرم برای تأمین حرارت فعالیت صنعتی فراهم کند.

## سیکل تبرید جذبی

مخلوط بخار و مایع خارج شده از توربین ۱ به دو قسمت تقسیم شده و مایع آن وارد یک ژنراتور سیکل تبرید جذبی می‌شود تا حرارت لازم برای جدایش آب از نمک لیتیوم-بروماید

برای تحلیل ترمودینامیکی زیر سامانه‌ها در کل سیستم از قانون اول و دوم استفاده شده است. قانون اول ترمودینامیک یا قانون بقای انرژی با فرضیات در نظر گرفته شده، برای تمامی اجزا به صورت زیر است.

$$\dot{Q} + \sum \dot{m}_i h_i = \dot{W} + \sum \dot{m}_e h_e \quad (1)$$

با اعمال قانون دوم ترمودینامیک در تمام اجزای سامانه می‌توان میزان بازگشت‌ناپذیری‌ها را تحلیل نمود. مقدار انرژی در هر نقطه با استفاده از رابطه (۲) به دست می‌آید.

$$ex_i = h_i - h_e - T_0(s_i - s_0) \quad (2)$$

همچنین قانون بقای انرژی به صورت زیر می‌باشد:

$$\sum \dot{m}_i ex_i + \dot{E}x^{Q_i} = \sum \dot{m}_e ex_e + \dot{E}x_{W_i} + \dot{E}x_{d_i} \quad (3)$$

که در رابطه بالا  $\dot{E}x^{Q_i}$ ،  $\dot{E}x_{W_i}$  و  $\dot{E}x_{d_i}$  به ترتیب انتقال انرژی به واسطه انتقال گرما، کار و نرخ اتلاف انرژی است. انتقال انرژی به واسطه انتقال گرما از رابطه زیر به دست می‌آید.

$$\dot{E}x^{Q_i} = \dot{Q}_i \left( 1 - \frac{T_0}{T_{s_i}} \right) \quad (4)$$

با محاسبه مقدار نرخ اتلاف انرژی در زیر سامانه‌ها می‌توان دید بهتری نسبت به بازگشت‌ناپذیری‌ها در قسمت‌های مختلف سیستم به دست آورد. مقدار نرخ اتلاف انرژی را می‌توان با استفاده از رابطه (۳) یا رابطه (۵) محاسبه نمود.

$$\dot{E}x_{d_i} = T_0 \dot{S}_{gen_i} \quad (5)$$

برای محاسبه مقدار توان تولیدی از توربین‌های ۱ و ۲ از رابطه زیر استفاده می‌شود.

$$\dot{W}_{st1} = \dot{m}_3(h_3 - h_4) \quad \dot{W}_{st2} = \dot{m}_{35}(h_{35} - h_{36}) \quad (6)$$

مقدار نرخ اتلاف انرژی در توربین‌های ۱ و ۲ نیز از روابط (۷) و (۸) به دست می‌آید.

$$\dot{m}_3(ex_3 - ex_4) = \dot{W}_{st1} + \dot{E}x_{d_{st1}} \quad (7)$$

$$\dot{m}_{35}(ex_{35} - ex_{36}) = \dot{W}_{st2} + \dot{E}x_{d_{st2}} \quad (8)$$

قانون بقای انرژی و انرژی برای فرایند ذخیره نیز به صورت زیر است.

$$\dot{m}_{38}(h_{38} - h_{39}) - \dot{m}_5(h_{35} - h_5) - \dot{Q}_L = \dot{E}n_{accu} \quad (9)$$

$$\dot{m}_{38}(ex_{38} - ex_{39}) - \dot{m}_5(ex_{35} - ex_5) - \dot{E}x^{Q_L} - \dot{E}x_d = \dot{E}x_{accu} \quad (10)$$

## سیکل پمپ حرارتی

پمپ حرارتی وظیفه تأمین حرارت برای گرمایش و رطوبت گیری از هوای خشک‌کننده را برعهده دارد. هوایی که برای فرایند خشک کردن در نظر گرفته شده وارد اپراتور می‌شود تا دمای ایزوبوتان که به عنوان سیال عامل در چرخه عمل می‌کند، افزایش داده و بدین ترتیب کار مورد نیاز کمپرسور را کاهش دهد. ایزوبوتان مافوق گرم وارد کمپرسور شده و با افزایش فشار و دما وارد کندانسور شده و حرارت مورد نیاز پمپ حرارتی را تأمین می‌کند. سپس وارد شیر انبساط شده و با کاهش فشار و دما وارد اپراتور می‌شود.

## فرایند خشک کردن

هوا بعد از رطوبت‌گیری وارد مبدل حرارتی شده و توسط مایعی که از جداساز وارد مبدل می‌شود، دمای آن افزایش و رطوبت نسبی آن کاهش می‌یابد. هوا وارد فرایند خشک کردن شده و در نقطه ۱۸ وارد محیط می‌شود.

**معادلات حاکم برای تحلیل انرژی و انرژی.** برای تحلیل ترمودینامیکی و محاسبه آنتالپی، آنترپی، دما، فشار و دبی ورودی و خروجی از زیرسامانه‌ها در تولید همزمان توان، گرما و سرما فرضیاتی در نظر گرفته شده است. همچنین برای برآورد بازگشت‌ناپذیری‌ها، اتلاف انرژی محاسبه شده است. فرضیات در نظر گرفته شده به صورت زیر می‌باشد:

۱. هوا به صورت گاز ایده‌آل در نظر گرفته شده است.  
۲. دما و فشار نقطه مرجع به ترتیب برابر  $T_0 = 298 \text{ K}$  و  $P = 101 \text{ kPa}$

۳. سامانه در حالت پایا تحلیل شده است.

۴. از انرژی جنبشی و پتانسیل در تحلیل ترمودینامیکی صرف نظر شده است.

۵. توربین‌ها و پمپ‌ها به صورت آدیباتیک در نظر گرفته شده است.

۶. از افت فشار در مبدل‌های حرارتی و لوله‌ها صرف نظر شده است.

۷. دمای آب خروجی از چاه زمین گرمایی بسته به نوع چاه و مکان آن دارد. برای چاه‌های زمین گرمایی در مشکین شهر و طبس این مقدار بین  $423$  تا  $573$  کلوین است. در اینجا آب گرم مخزن با دمای  $573 \text{ K}$  و فشار  $60 \text{ Bar}$  با کیفیت  $50\%$  در نظر گرفته شده است [19].

$$\eta_{st2} = \frac{\dot{W}_{st2}}{\dot{m}_{35}h_{35} - \dot{m}_{36}h_{36}} \quad (22)$$

$$\eta_{HW} = \frac{\dot{m}_{13}h_{13} - \dot{m}_{12}h_{12}}{\dot{m}_{10}h_{10} - \dot{m}_{11}h_{11}} \quad (23)$$

برای سامانه تبرید جذبی راندمان به صورت ضریب عملکرد تعریف می شود.

$$COP_{en,AC} = \frac{\dot{m}_{28}h_{28} - \dot{m}_{27}h_{27}}{\dot{m}_6h_6 - \dot{m}_7h_7} \quad (24)$$

برای پمپ حرارتی ضریب عملکرد به صورت زیر بیان می شود:

$$COP_{en,HP} = \frac{\dot{m}_{22}h_{22} - \dot{m}_{23}h_{23}}{\dot{m}_{22}h_{22} - \dot{m}_{21}h_{21}} \quad (25)$$

مقدار راندمان کل سامانه از رابطه (۲۶) به دست خواهد آمد:

$$\eta_0 = \frac{\dot{W}_{net} + \dot{Q}_{evap2} + \dot{Q}_{cond1} + (\dot{m}_{13}h_{13} - \dot{m}_{12}h_{12})}{(\dot{m}_1h_1 - (\dot{m}_7h_7 + \dot{m}_{11}h_{11} + \dot{m}_{36}h_{36})) + \dot{Q}_{solar}} \quad (26)$$

یکی از ابزارهای مهم برای تحلیل ترمودینامیکی سیستم های انرژی، استفاده از راندمان انرژی است. راندمان قانون دوم زیرسامانه های مختلف را می توان به صورت زیر تعریف نمود:

$$\psi_{st1} = \frac{\dot{W}_{st1}}{\dot{m}_3ex_3 - \dot{m}_4ex_4} \quad (27)$$

$$\psi_{st2} = \frac{\dot{W}_{st2}}{\dot{m}_{35}ex_{35} - \dot{m}_{36}ex_{36}} \quad (28)$$

$$\psi_{HW} = \frac{\dot{m}_{13}ex_{13} - \dot{m}_{12}ex_{12}}{\dot{m}_{10}ex_{10} - \dot{m}_{11}ex_{11}} \quad (29)$$

$$COP_{ex,AC} = \frac{(\dot{m}_{28}h_{28} - \dot{m}_{27}h_{27}) \left(1 - \frac{T_0}{T_{sevap2}}\right)}{\dot{m}_6ex_6 - \dot{m}_7ex_7} \quad (30)$$

$$COP_{ex,HP} = \frac{(\dot{m}_{22}h_{22} - \dot{m}_{23}h_{23}) \left(1 - \frac{T_0}{T_{scond1}}\right)}{\dot{m}_{22}ex_{22} - \dot{m}_{21}ex_{21}} \quad (31)$$

$$\psi_0 = \frac{\left(\dot{W}_{net} + \dot{Ex}Q_{evap2} + \dot{Ex}Q_{cond1}\right) + (\dot{m}_{13}ex_{13} - \dot{m}_{12}ex_{12})}{\left(\dot{m}_1ex_1 - \left(\dot{m}_7ex_7 + \dot{m}_{11}ex_{11} + \dot{m}_{36}ex_{36}\right)\right) + \dot{Q}_{solar} \left(1 - \frac{T_0}{T_{sol}}\right)} \quad (32)$$

### بحث و بررسی نتایج

مقدار راندمان قانون اول و دوم این سامانه به ترتیب  $\eta_0 = 92\%$  و  $\psi_0 = 57\%$  است که از بسیاری از سامانه های تولید توان بیشتر است. در جدول (۱) مقدار خواص ترمودینامیکی مانند دما، فشار و آنتالپی، آنتروپی، انرژی

مقدار انتقال حرارت به آب گرم در مبدل آب گرم به صورت زیر به دست می آید.

$$\dot{Q}_{HW} = \dot{m}_{13}(h_{13} - h_{12}) \quad (11)$$

مقدار انرژی منتقل شده به ژنراتور سیکل تبرید جذبی برابر است با:

$$\dot{Q}_{HW} = \dot{m}_6(h_6 - h_7) \quad (12)$$

معادله بقای انرژی و انرژی برای ژنراتور سیکل تبرید جذبی به صورت زیر نیز قابل بیان است:

$$\dot{Q}_{Gen} + \dot{m}_{31}h_{31} = \dot{m}_{25}h_{25} + \dot{m}_{32}h_{32} \quad (13)$$

$$\dot{Q}_{Gen} \left(1 - \frac{T_0}{T_{sGen}}\right) + \dot{m}_{31}ex_{31} = \dot{m}_{25}ex_{25} + \dot{m}_{32}ex_{32} + \dot{Ex}_{dGen} \quad (14)$$

مقدار بار سرمایشی در اپراتور سیکل تبرید جذبی از رابطه (۱۵) و (۱۶) حاصل می شود:

$$\dot{Q}_{evap} = \dot{m}_{28}(h_{28} - h_{27}) \quad (15)$$

$$\dot{Q}_{evap} \left(1 - \frac{T_0}{T_{sevap}}\right) + \dot{m}_{27}ex_{27} = \dot{m}_{28}ex_{28} + \dot{Ex}_{dEvap} \quad (16)$$

مقدار کار کمپرسور در سامانه پمپ حرارتی به صورت زیر حاصل می شود:

$$\dot{W}_{comp} = \dot{m}_{22}(h_{22} - h_{21}) \quad (17)$$

نرخ اتلاف انرژی برای کمپرسور در سامانه تبرید تراکمی را می توان به صورت زیر محاسبه نمود:

$$\dot{W}_{comp} + \dot{m}_{21}ex_{21} = \dot{m}_{22}ex_{22} + \dot{Ex}_{dcomp} \quad (18)$$

مقدار بار حرارتی کندانسور پمپ حرارتی از رابطه (۱۸) به دست می آید.

$$\dot{W}_{cond1} = \dot{m}_{22}(h_{22} - h_{23}) \quad (19)$$

معادله بقای انرژی برای کندانسور را می توان به صورت زیر نوشت:

$$\dot{m}_{22}ex_{22} = \dot{m}_{23}ex_{23} + \dot{Q}_{cond1} \left(1 - \frac{T_0}{T_{scond1}}\right) + \dot{Ex}_{dcond1} \quad (20)$$

مقدار راندمان توربین ۱، ۲ و مبدل آب گرم به صورت روابط زیر قابل تعریف است:

$$\eta_{st1} = \frac{\dot{W}_{st1}}{\dot{m}_3h_3 - \dot{m}_4h_4} \quad (21)$$



توان تولیدی کل سامانه، راندمان کل سامانه، ضریب عملکرد پمپ حرارتی و سیکل تبرید جذبی است. این خروجی‌ها در جدول (۳) بیان شده است. مقدار کل توان تولیدی سامانه تقریباً ۱۸/۶ MW است.

استفاده از نرم‌افزار (Engineering Equation Solver) EES محاسبه شده است. بر اساس داده‌های جدول (۱) می‌توان خروجی‌های اصلی سامانه انرژی زمین گرمایی-خوشیدی را بر اساس معادلات جدول (۲) محاسبه نمود. خروجی اصلی شامل

جدول ۱ خواص ترمودینامیکی در هر نقطه از سامانه

State no.	$\dot{m}$ (kg/s)	T (K)	P (kPa)	h (kJ/kg)	s (kJ/kg.K)	ex (kJ/kg)
1	50	573	8566	2046	4.479	715.2
2	50	527.6	4283	2046	4.613	675.1
3	27.75	527.6	4283	2799	6.04	1002
4	27.75	419.3	428.3	2514	6.331	631
5	24.78	419.3	428.3	2742	6.873	696.6
6	2.967	419.3	428.3	615.6	1.802	82.66
7	2.967	340	428.3	280.2	0.9161	11.54
8	-	-	-	-	-	-
9	-	-	-	-	-	-
10	22.25	525.4	4283	1096	2.813	262.1
11	22.25	318	101.3	191.5	0.6347	6.818
12	48.08	278	101.3	20.49	0.074	3.03
13	48.08	368	101.3	397.4	1.248	29.69
14	3	298.2	101.3	63.4	5.833	72.59
15	3	298.7	101.3	65.1	5.865	72.58
16	3	290.2	101.3	35.51	5.737	73.32
17	3	368.2	101.3	115.1	5.98	80.5
18	3	350	101.3	309	6.615	85.3
19	-	-	-	-	-	-
20	-	-	-	-	-	-
21	0.7	280.9	175	398.6	1.719	37.17
22	0.7	341.6	1050	435.3	1.74	67.5
23	0.7	303	1050	271.7	1.244	52.02
24	0.7	276.3	175	271.7	1.26	47.22
25	0.3366	363	7.38	2668	8.536	127.3
26	0.3366	313	7.38	166.9	0.5703	1.394
27	0.3366	276.9	0.8	166.9	0.603	-8.369
28	0.3366	276.9	0.8	2507	9.055	-188.3
29	1.363	308	0.8	-160	6.157	-738.1
30	1.363	308	7.38	-160	1.675	598.5
31	1.363	323	7.38	-124	5.58	634.4
32	1.026	363	5.48	-170	4.867	147.7
33	1.026	335	7.38	-117.8	4.729	188.8
34	1.026	318	0.8	-117.8	5.169	57.46
35	24.78	502	428.3	2919	7.26	758.6
36	24.78	319	10	2486	7.841	152.2
37	14.3	650	101.3	378.4	0.769	158.4
38	14.3	650	120	378.4	0.769	158.4
39	14.3	373	120	9.76	0.0259	11.46

جدول ۲ معادلات انرژی، انرژی و پیوستگی برای اجزای مختلف

تجهیز	معادله انرژی	معادله انرژی	معادله پیوستگی
توربین ۱	$\dot{W}_{st1} = \dot{m}_3(h_3 - h_4)$	$\dot{m}_3(ex_3 - ex_4) = \dot{W}_{st1} + \dot{E}x_{d_{st1}}$	$\dot{m}_3 = \dot{m}_4$
توربین ۲	$\dot{W}_{st2} = \dot{m}_{35}(h_{35} - h_{36})$	$\dot{m}_{35}(ex_{35} - ex_{36}) = \dot{W}_{st2} + \dot{E}x_{d_{st2}}$	$\dot{m}_{35} = \dot{m}_{36}$
ذخیره‌ساز	$\dot{m}_{38}(h_{38} - h_{39}) - \dot{m}_5(h_{35} - h_5) - \dot{Q}_L = \dot{E}n_{accu}$	$\dot{m}_{38}(ex_{38} - ex_{39}) - \dot{m}_5(ex_{35} - ex_5) - \dot{E}x_{d_{accu}} = \dot{E}x_{accu}$	$\dot{m}_{38} = \dot{m}_{39}$ $\dot{m}_{35} = \dot{m}_5$
مبدل آب گرم	$\dot{Q}_{HW} = \dot{m}_{13}(h_{13} - h_{12})$	$\dot{Q}_{HW} \left(1 - \frac{T_0}{T_{SHW}}\right) + \dot{m}_{12}ex_{12} = \dot{m}_{13}ex_{13} + \dot{E}x_{d_{HW}}$	$\dot{m}_{13} = \dot{m}_{12}$
ژنراتور تبرید جذبی	$\dot{Q}_{Gen} + \dot{m}_{31}h_{31} = \dot{m}_{25}h_{25} + \dot{m}_{32}h_{32}$ $\dot{Q}_{HW} = \dot{m}_6(h_6 - h_7)$	$\dot{Q}_{Gen} \left(1 - \frac{T_0}{T_{sGen}}\right) + \dot{m}_{31}ex_{31} = \dot{m}_{25}ex_{25} + \dot{m}_{32}ex_{32} + \dot{E}x_{d_{Gen}}$	$\dot{m}_{31} = \dot{m}_{32}$ $\dot{m}_6 = \dot{m}_7$
اپراتور تبرید جذبی	$\dot{Q}_{evap} = \dot{m}_{28}(h_{28} - h_{27})$	$\dot{Q}_{evap} \left(1 - \frac{T_0}{T_{sevap}}\right) + \dot{m}_{27}ex_{27} = \dot{m}_{28}ex_{28} + \dot{E}x_{d_{evap}}$	$\dot{m}_{27} = \dot{m}_{28}$
کمپرسور	$\dot{W}_{comp} = \dot{m}_{22}(h_{22} - h_{21})$	$\dot{W}_{comp} + \dot{m}_{21}ex_{21} = \dot{m}_{22}ex_{22} + \dot{E}x_{d_{comp}}$	$\dot{m}_{22} = \dot{m}_{21}$
کندانسور	$\dot{W}_{cond1} = \dot{m}_{22}(h_{22} - h_{23})$	$\dot{m}_{22}ex_{22} = \dot{m}_{23}ex_{23} + \dot{Q}_{cond1} \left(1 - \frac{T_0}{T_{scond1}}\right) + \dot{E}x_{d_{cond1}}$	$\dot{m}_{22} = \dot{m}_{23}$

جدول ۳ خروجی‌های اصلی سامانه انرژی زمین گرمایی-خورشیدی

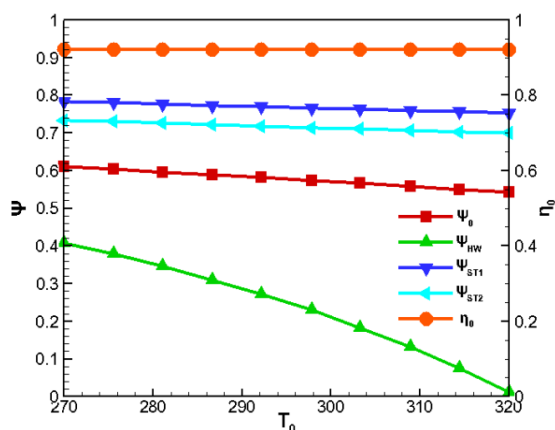
$\dot{W}_{ST1}$	۷۹۰۱ (kW)
$\dot{W}_{ST2}$	۱۰۷۳۱ (kW)
$\eta_{T1}$	۰/۸۰
$\eta_{T2}$	۰/۷۵
$\dot{W}_{P1}$	۹۰ (W)
$\dot{W}_{P2}$	۲۶۷ (W)
$\dot{Q}_{Gen}$	۹۹۵ (kW)
$\dot{Q}_{evap2}$	۷۷۸ (kW)
$COP_{en,AC}$	۰/۷۹
$COP_{ex,AC}$	۰/۲۹
$COP_{en,HP}$	۴/۴۵
$COP_{ex,HP}$	۰/۳۳
$\eta_o$	۹۲٪
$\psi_o$	۵۷٪

در چاه زمین گرمایی بستگی به نوع چاه دارد و می‌تواند میزان آن متغیر باشد. با افزایش کیفیت بخار از ۰/۳ تا ۰/۸ مقدار راندمان انرژی تغییر زیادی ندارد ولی راندمان انرژی از ۰/۵۲ تا ۰/۶۰ افزایش می‌یابد که علت آن کاهش اتلاف انرژی در قسمت‌های مختلف سامانه است. در واقع با افزایش کیفیت بخار مقدار انرژی آن افزایش پیدا کرده و این امر سبب بهبود راندمان انرژی به مقدار ۰/۸ می‌شود. در شکل (۳) تغییرات راندمان انرژی و انرژی بر حسب دبی سیال خروجی از چاه زمین گرمایی نشان داده شده است. با افزایش دبی جرمی از ۲۰ kg/s تا ۸۰ kg/s تغییرات راندمان قانون اول و دوم تقریباً ناچیز است. با افزایش دبی سیال خروجی از چاه مقدار انرژی تولیدی افزایش می‌یابد ولی مقدار راندمان قانون اول و دوم به دلیل عدم تغییر در کیفیت انرژی تغییر محسوسی ندارد.

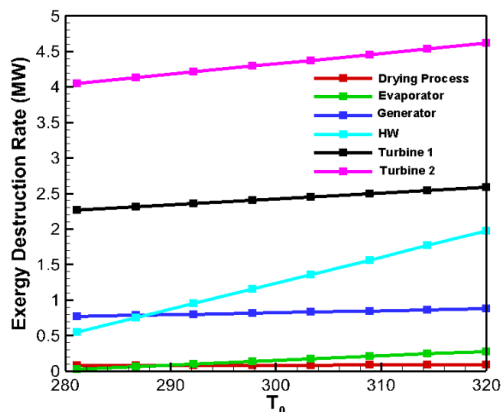
بر اساس مقادیر خواص ترمودینامیکی، راندمان قانون انرژی و انرژی در شکل (۲) بر اساس تغییرات کیفیت سیال خروجی از چاه زمین گرمایی محاسبه شده است. کیفیت بخار

نشان می‌دهد. در حالی که راندمان انرژی تأثیر تغییر دما را نشان نمی‌دهد ولی تحلیل قانون دوم عملکرد قسمت‌های مختلف سامانه را با تغییر دمای محیط نشان می‌دهد.

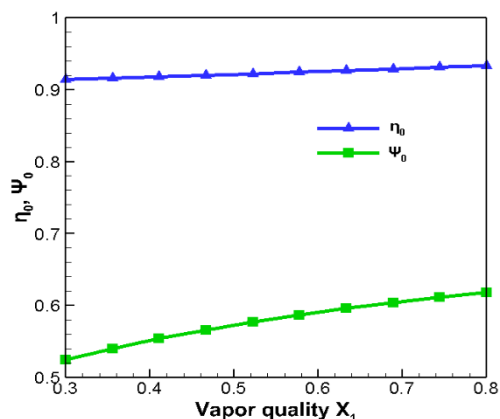
نمودار ضریب عملکرد پمپ حرارتی بر حسب دبی جرمی هوای ورودی در شکل (۶) نشان داده شده است. با افزایش دبی هوا، دمای ایزوبوتان (سیال عامل در سیکل پمپ حرارتی) در ورودی کمپرسور افزایش یافته و این امر سبب افزایش کار مصرفی در کمپرسور و اتلاف انرژی و در نهایت موجب کاهش راندمان انرژی به میزان ۲٪ و انرژی به میزان ۱٫۵٪ در آن می‌شود. در شکل (۷) تغییرات راندمان کل سامانه و سامانه تهویه مطبوع بر حسب  $T_7$  نشان داده شده است. با افزایش دمای خروجی از ژنراتور از ۳۲۰ K تا ۳۸۰ K مقدار ضریب عملکرد انرژی ۲۵٪ کاهش می‌یابد.



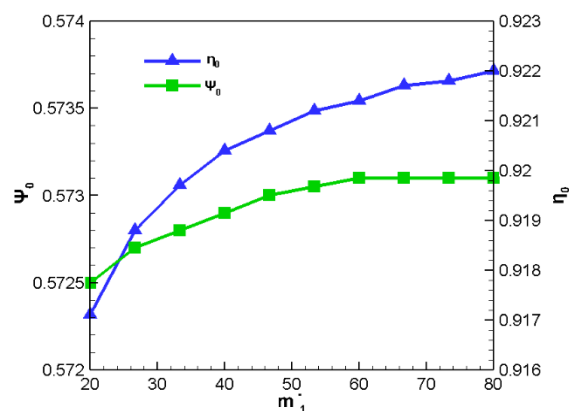
شکل ۴ نمودار راندمان انرژی کل و راندمان انرژی کل، مبدل تولیدکننده آب گرم، توربین ۱ و ۲ بر حسب دمای محیط



شکل ۵ نمودار نرخ اتلاف انرژی قسمت‌های مختلف سامانه بر حسب دمای محیط



شکل ۲ نمودار راندمان انرژی و انرژی کل سامانه بر حسب کیفیت آب خروجی از چاه‌های زمین گرمایی



شکل ۳ نمودار راندمان انرژی و انرژی کل سامانه بر حسب دبی جریان آب گرم از مخزن زمین گرمایی

در شکل (۴) مشاهده می‌شود که افزایش دمای محیط سبب کاهش راندمان انرژی کل، توربین ۱ و ۲ و کاهش شدید راندمان مبدل آب گرم می‌شود. با افزایش دمای محیط اتلاف انرژی افزایش یافته و این امر سبب کاهش راندمان قانون دوم در کل سامانه می‌شود. با توجه به اینکه دمای محیط در معادلات انرژی تأثیری ندارد، با تغییر دمای محیط راندمان انرژی تغییر نمی‌کند. اتلاف انرژی در قسمت‌های مختلف سامانه بر حسب دمای محیط در شکل (۵) مشاهده می‌شود.

اتلاف انرژی در توربین ۱ و ۲ به ترتیب ۹٪ و ۱۲٫۵٪ افزایش می‌یابد. میزان افزایش اتلاف انرژی برای مبدل آب گرم حدود ۳۰٪ یعنی از ۰٫۵ MW تا ۲ MW است که سبب کاهش شدید راندمان انرژی آن با افزایش دمای محیط می‌شود. این نمودار اهمیت تحلیل انرژی در سامانه‌های انرژی را



پمپ حرارتی) در ورودی کمپرسور افزایش یافته و این امر سبب افزایش کار مصرفی در کمپرسور و اتلاف انرژی و در نهایت موجب کاهش راندمان انرژی و انرژی در آن می‌شود.

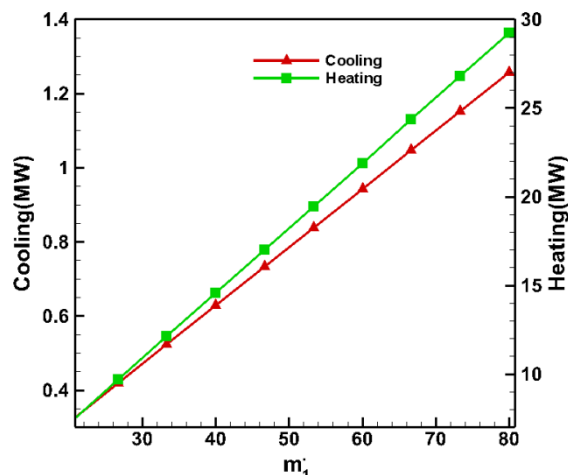
### تقدیر و تشکر

### فهرست علائم

نرخ انرژی	$\dot{E}$
جریان انرژی	$E$
انرژی حرارتی	$ExQ$
انتالپی	$h$
دبی جرمی	$\dot{m}$
فشار	$P$
نرخ انتقال حرارت	$\dot{Q}$
آنترپی	$s$
تولید آنترپی	$\dot{S}_{gen}$
دما	$T$
توان	$\dot{W}$
راندمان انرژی	$\eta$
راندمان انرژی	$\psi$
کمپرسور	Comp
ضریب عملکرد	COP
چیلر جذبی	Abs
اوپراتور	Eva
ژنراتور	Gen
مبدل حرارتی	HE
خورشیدی	Sol
ذخیره‌ساز انرژی حرارتی	TES
کیفیت بخار	X

### واژه نامه

Absorption Chiller	چیلر
Condenser	کندانسور
Evaporator	اوپراتور



شکل ۱۰ نمودار تغییر میزان گرمایش و سرمایش بر حسب دبی آب گرم از مخزن زمین گرمایی

### نتیجه گیری

در این پژوهش یک سامانه تولید همزمان بر اساس انرژی زمین گرمایی و خورشیدی ارائه شده است. با استفاده از قانون اول و دوم ترمودینامیک کل سامانه تحلیل شده است. مقدار کار، سرما و گرما تولیدی و همچنین اتلاف انرژی محاسبه شده است. با استفاده از روابط ترمودینامیکی تأثیر پارامترهای مؤثر مانند دبی جرمی سیال خروجی از مخزن زمین گرمایی، کیفیت بخار، دمای محیط، دمای هوای ورودی به پمپ حرارتی و دمای سیال خروجی ژنراتور بر روی راندمان قانون اول، دوم و اتلاف انرژی بررسی شده است.

۱. با افزایش کیفیت بخار از ۰/۳ تا ۰/۸ مقدار راندمان انرژی حدود ۸٪ افزایش می‌یابد.  
 ۲. با افزایش دمای محیط از ۲۷۰ K تا ۳۲۰ K مقدار راندمان انرژی کل تغییری نمی‌کند اما مقدار راندمان انرژی کل حدود ۷٪ کاهش، توربین شماره ۱ تقریباً ۳٪ و توربین شماره ۲ حدود ۴٪ کاهش می‌یابد. کاهش راندمان انرژی برای مبدل آب گرم بسیار شدید است که علت آن افزایش ۳۰٪ اتلاف انرژی و بازگشت‌ناپذیری در مبدل آب گرم است.

۳. با افزایش دمای خروجی از ژنراتور از ۳۲۰ K تا ۳۸۰ K مقدار ضریب عملکرد انرژی ۲۵٪ کاهش می‌یابد. با افزایش دبی هوا، دمای ایزوبوتان (سیال عامل در سیکل

Separator	جداکننده	Exergy	اگرژی
Solar Collector	کلکتور خورشیدی	Enthalpy	آنتالپی
Vapor Quality	کیفیت بخار	Entropy	آنتروپی
		Heat Pump	پمپ حرارتی
		Kalina Cycle	سیکل کالینا
		Refrigerant	مبرد

## مراجع

- [1] F. Cao, H. Li, Q. Ma, and L. Zhao, , "Design and simulation of a geothermal-solar combined chimney power plant", *Energy Conversion and Managment*, vol. 84, Pp.186–195, (2014).
- [2] J. Choi, B. Kang, H. Cho, "Performance comparison between R22 and R744 solar-geothermal hybrid heat pumps according to heat source conditions", *Renewable Energy*, vol. 71, Pp. 414–424, (2014).
- [3] H. Ghasemi, E. Sheu, A. Tizzanini, M. Paci, and A. Mitsos, "Hybrid solar-geothermal power generation: Optimal retrofitting", *Applied Energy*, vol. 131, Pp. 158–170, (2014).
- [4] M. Ayub, A. Mitsos, and H. Ghasemi, "Thermo-economic analysis of a hybrid solar-binary geothermal powerplant", *Energy*, vol. 87, Pp. 326–335, (2015).
- [5] N. Shokati, F. Ranjbar, "Thermodynamic and Exergoeconomic Analysis of Combination of Single-Flash Geothermal Power Cycle with Kalina and ORC with different Organic Fluids", *Journal of Solid Fluid Mechanics* vol. 5, Pp. 177–192, (1394).
- [6] F. Heberle, M. Hofera, Ni. Ürlings, H. Schröder, Th. Anderlohr, and D. Brüggemanna, "Techno-economic analysis of a solar thermal retrofit for an air-cooled geothermal Organic Rankine Cycle power plant", *Renewable Energy*, vol. 113, Pp. 494–502, (2017).
- [7] F. Calise, M. D. D'Accadia, A. MacAluso, A. Piacentino, and L. Vanoli, "Exergetic and exergoeconomic analysis of a novel hybrid solar-geothermal polygeneration system producing energy and water", *Energy Conversion and Management*, vol. 115, Pp. 200–220, (2016).
- [8] S. M. Alirahmi, S. Rahmani Dabbagh, P. Ahmadi, and S. Wongwises, "Multi-objective design optimization of a multi-generation energy system based on geothermal and solar energy", *Energy Conversion and Management*, vol. 205, Pp. 112426, (2020).
- [9] R. Elghamry, H. Hassan, "Impact a combination of geothermal and solar energy systems on building ventilation, heating and output power: Experimental study", *Renewable Energy*, vol. 152, Pp. 1403–1413, (2020).
- [10] K. H. M. Al-Hamed, I. Dincer, "Investigation of a concentrated solar-geothermal integrated system with a combined ejector-absorption refrigeration cycle for a small community", *International Journal of Refrigeration* vol. 106, Pp. 407–426, (2019).
- [11] S. Zabihollah, D. Rafiee, and F. Torabi, "Geothermal energy and its combination with other renewable energies in combined cycle of power, refrigeration and heating", *Scientific Journal of Mechanical Engineering*, vol. 29, Pp.

- 79–89, (1399).
- [12] O. Siddiqui, I. Dincer, "A new solar and geothermal based integrated ammonia fuel cell system for multigeneration", *International Journal of Hydrogen Energy*, (2020). doi:10.1016/j.ijhydene.2020.02.109
- [13] V. Okati, A. Ebrahimi-Moghadam, A. Behzadmehr, and M. Farzaneh-Gord, "Proposal and assessment of a novel hybrid system for water desalination using solar and geothermal energy sources", *Desalination*, vol. 467, Pp. 229–244, (2019).
- [14] M. A. Ald, S. K. Aria, and S. Jafrmadar, "Analysis of a new hybrid arrangement by using geothermal wells of Sabalan and the LNG cool energy", *Amirkabir Journal of Mechanical Engineering*, vol. 52, Pp. 525–544, (1399).
- [15] M. Ciani Bassetti, D. Consoli, G. Manente, and A. Lazzaretto, "Design and off-design models of a hybrid geothermal-solar power plant enhanced by a thermal storage", *Renewable Energy*, vol. 128, Pp. 460–472, (2018).
- [16] J. D. McTigue, D. Wendt, K. Kitz, J. Gunderson, Ni. Kincaid, G. Zhua, "Assessing geothermal/solar hybridization – Integrating a solar thermal topping cycle into a geothermal bottoming cycle with energy storage", *Applied Thermal Engineering*, vol. 171, Pp. 115121, (2020).
- [17] A. Keshvarparast, S. S. M. Ajarostaghi, and M. A. Delavar, "Thermodynamic analysis the performance of hybrid solar-geothermal power plant equipped with air-cooled condenser", *Applied Thermal Engineering*, vol. 172, Pp. 115160, (2020).
- [18] M. Sandali, A. Boubekri, D. Mennouche, and N. Gherraf, "Improvement of a direct solar dryer performance using a geothermal water heat exchanger as supplementary energetic supply. An experimental investigation and simulation study", *Renewable Energy*, vol. 135, Pp. 186–196, (2019).
- [19] Taherifard A, Shahab M. Case Study: Geothermal power plant of Meshkinshahr. *Energy Econ.* 1389;125(1):31–9. (In Persian)

